

# Wprowadzenie do symulacji i metod Monte Carlo

## Projekt 1

Zuzanna Brzóska, anonymous second person

22 maja 2023

### Spis treści

<b>1</b>	<b>Wprowadzenie</b>	<b>1</b>
<b>2</b>	<b>Generatory</b>	<b>2</b>
2.1	LCG . . . . .	2
2.2	GLCG . . . . .	2
2.3	Lagged Fibonacci generator . . . . .	2
2.4	RC4(32) . . . . .	3
2.5	Exclusive OR Generator . . . . .	4
<b>3</b>	<b>Testy</b>	<b>4</b>
3.1	$\chi^2$ test . . . . .	4
3.2	Kolmogorow-Smirnov test . . . . .	4
3.3	Frequency monobit test . . . . .	5
3.4	Runs test . . . . .	5
<b>4</b>	<b>Second-level testing</b>	<b>5</b>
<b>5</b>	<b>Wyniki</b>	<b>6</b>
5.1	LCG . . . . .	6
5.2	GLCG . . . . .	7
5.3	RC4(32) . . . . .	7
5.4	Lagged Fibonacci generator . . . . .	8
5.5	Exclusive OR Generator . . . . .	9
5.6	$\Pi, e, \sqrt{2}$ . . . . .	9
<b>6</b>	<b>Porównanie</b>	<b>9</b>
6.1	Testy generatorów . . . . .	10
6.2	Second level testing . . . . .	11

## 1 Wprowadzenie

Celem niniejszego projektu jest opisanie wybranych generatorów liczb pseudo-losowych (czyli liczb w pewien sposób przypominających liczby losowe) oraz sprawdzenie ich własności i jakości, bazujące na testach statystycznych.

## 2 Generatory

Na początek skupimy się na przedstawieniu poszczególnych generatorów liczb pseudolosowych, czyli algorytmów zwracających sekwencje liczb (lub bitów), które wydają się losowe. Poza generatorem *XORG* zwracającym ciąg bitów, wszystkim generatorom liczbowym można w naszej implementacji przekazać argument informujący czy chcemy otrzymać liczby z przedziału  $(0, 1)$  czy ze zbioru  $\{0, \dots, M - 1\}$  dla pewnego  $M$  (zwykle będącego potęgą 2).

### 2.1 LCG

Liniowy generator kongruentny  $LCG(M, a, c)$  jest jednym z prostszych sposobów generowania liczb pseudolosowych postaci  $u_n = x_n/M$ . Generator zdefiniowany jest poprzez rekurencję

$$x_{n+1} = (ax_n + c) \bmod M,$$

gdzie  $a$  stanowi mnożnik,  $c$  przyrost,  $M$  moduł, a  $x_0$  jest wartością początkową i każdy z parametrów pochodzi z przedziału  $[0, M)$ . Liczba pseudolosowa jest resztą z dzielenia przez  $M$ , zatem przyjmować może wartości od 0 do  $M - 1$ . Generowana sekwencja będzie miała okres o długości co najwyżej  $M$ .

W testach za  $(M, a, c)$  przyjmować będziemy  $(13, 1, 5)$ ,  $(2^{10}, 3, 7)$  oraz  $(2^{10}, 5, 7)$ . W ostatnim przypadku parametry spełniają twierdzenie pozwalające określić kiedy okres wygenerowanego ciągu ma długość równą  $M$ , a mianowicie:

- $c$  jest względnie pierwsze z  $M$ ,
- $a - 1$  jest wielokrotnością każdej liczby pierwszej dzielącej  $M$ ,
- jeśli  $4|M$ , to  $a \equiv 1 \pmod{4}$ .

### 2.2 GLCG

$GLCG(M, (a_1, a_2, \dots, a_k))$  stanowi uogólnienie poprzedniego generatora, gdzie liczby generowane są na podstawie rekurencji

$$x_n = (a_1x_{n-1} + \dots + a_kx_{n-k}) \bmod M,$$

dla danych  $x_0, x_1, \dots, x_{k-1}$ .

Dla odpowiednio dobranych stałych  $a_j$ , przy czym  $M$  - liczba pierwsza, możemy otrzymać okres długości  $M^k$ . W projekcie przetestujemy  $GLCG$  dla parametrów  $M = 2^{10}, k = 3, (a_1, a_2, a_3) = (3, 7, 68)$ , gdzie spodziewamy się zdecydowanie krótszego cyklu oraz dla  $M = 2^{13} - 1, k = 3, (a_1, a_2, a_3) = (3, 7, 68)$  (zauważmy, że  $2^{13} - 1$  jest liczbą pierwszą, więc istnieje większa szansa, na dłuższy okres ciągu).

### 2.3 Lagged Fibonacci generator

Opóźniony generator Fibonacciego *LFG* jest ulepszeniem liniowego generatora kongruencyjnego i opiera się na uogólnieniu ciągu Fibonacciego. Kolejne liczby wyrażają się następującym wzorem

$$x_n = x_{n-k} + x_{n-l} \bmod M \quad (n \geq \max(k, l)).$$

Zbadamy również inną modyfikację tzw. *subtractive lagged Fibonacci generator* zadaną rekurencją

$$x_n = x_{n-k} - x_{n-l} \bmod M \quad (n \geq \max(k, l)).$$

Powyższe generatory przetestujemy z parametrami  $2^{10}, 5, 12$  oraz z parametrami zaproponowanymi przez Knutha -  $2^{30}, 100, 37$ , a pierwszy z nich dodatkowo z parametrami  $2^{10}, 1, 2$ , co odpowiada generatorowi Fibonacciego bez opóźnienia.

## 2.4 RC4(32)

Generator  $RC4(m)$  należy do nieco bardziej zaawansowanych generatorów, ponieważ tak na prawdę składa się z dwóch algorytmów: KSA oraz PRGA. Parametrem przyjmowanym przez niego jest pewien ciąg liczb (klucz) ze zbioru  $1, \dots, m-1$ , który podlega permutacjom, do czego służy algorytm KSA, działający zgodnie z poniższą ideą:

```

KSA( $K$ )

for  $i := 0$  to  $m - 1$  do
     $S[i] := i$ 
end for

 $j := 0$ 
for  $i := 0$  to  $m - 1$  do
     $j := j + S[i] + K[i \bmod L]$ 
    swap( $S[i], S[j]$ )
end for
 $i, j := 0$ 

```

gdzie  $S$  - początkowo permutacja identycznościowa,  $K$  - podany klucz o długości  $L$ . Następnie, na podstawie wyniku KSA, algorytm PRGA używając operacji *XOR*, zwraca liczby pseudo-losowe, również ze zbioru  $\{1, \dots, m-1\}$ , zgodnie z poniższym:

```

PRGA

while  $r \in \mathcal{N}_+$  do
     $i := i + 1$ 
     $j := j + S[i]$ 
    swap( $S[i], S[j]$ )
     $Y_r \leftarrow S[S[i] + S[j]]$ 
end while

```

Przetestujemy powyższy generator dla kluczy  $\{0, 1, 2, \dots, 31\}$  oraz  $\{15, 10, 21, 13, 24\}$ .

## 2.5 Exclusive OR Generator

Jest to generator zwracający bity (liczby 0 lub 1). *XORG* opiera się na ciągu 127 bitów (nazywanym ziarnem), a kolejne liczby są postaci

$$x_n = x_{n-1} \oplus x_{n-127} \quad j \geq 128.$$

(Dla przypomnienia: operacja *XOR* daje wynik prawdziwy  $\iff$  nieparzysta liczba zdań na wejściu jest prawdziwa). W projekcie opieramy się na ziarnie zaproponowanym w [1].

## 3 Testy

W tej sekcji przedstawimy wybrane testy statystyczne. W każdym z testów interesuje nas wyliczona dzięki niemu p-wartość, która informuje nas o prawdopodobieństwie zajścia hipotezy zerowej - w przypadku testowania generatorów  $H_0$  zakłada, że ciągi pochodzą w rozkładu jednostajnego.

### 3.1 $\chi^2$ test

Jest to bardzo popularny test statystyczny, w naszej implementacji przyjmuje liczby z przedziału  $[0, 1]$ . Test zakłada, że otrzymujemy  $n$  liczb, z których każda należy do jednej z  $k$  kategorii - tutaj są to równe podprzedziały odcinka jednostkowego. Liczymy liczbę obserwacji z kategorii  $s$ , czyli zmienną  $Y_s$ , która dla większych ciągów powinna dążyć do iloczynu  $np_s$ , gdzie  $p_s$  jest prawdopodobieństwem wypadnięcia obserwacji do kategorii  $s$ . Następnie liczymy statystykę

$$\hat{\chi}^2 = \sum_{i=1}^k \frac{(Y_i - np_i)^2}{np_i},$$

a także p-wartość korzystając z faktu, że powyższa statystyka powinna mieć rozkład  $\chi^2$  z  $k - 1$  stopniami swobody.

### 3.2 Kolmogorow-Smirnov test

W implementacji do niniejszego projektu zaproponowany przez nas test przyjmuje ciąg liczb z odcinka  $[0, 1]$ . Test sprawdza, czy rozkład w populacji dla pewnej zmiennej losowej, różni się od założonego rozkładu teoretycznego, gdy znana jest jedynie pewna skończona liczba obserwacji tej zmiennej. Dystrybuenta empiryczna dana jest wzorem

$$\hat{F}_X(x) = \frac{1}{n} \sum_{i=1}^n \mathbf{1}(X_i \leq x).$$

Dla  $n \rightarrow \infty$  statystyka

$$\hat{D}_n = \sqrt{n} \sup_{x \in \mathbb{R}} |\hat{F}_X(x) - F_X(x)|$$

dąży do rozkładu Kołmogorowa - Smirnova

$$P(\hat{D}_n \leq t) \rightarrow 1 - \sum_{i=1}^{\infty} (-1)^{i-1} e^{-2i^2 t}.$$

### 3.3 Frequency monobit test

Jest to test przyjmujący dane w postaci ciągu bitów, który sprawdza w nim proporcje 0 i 1. Po prawdziwie losowym ciągu spodziewamy się, że proporcje te powinny być zbliżone. W celu wykonania tego testu, przekształcamy bity 0 na  $-1$ . Test działa na podstawie Centralnego Twierdzenia Granicznego: gdy mamy niezależne zmienne losowe  $X_1, X_2, \dots$  o rozkładzie  $P(X_i = -1) = P(X_i = 1) = \frac{1}{2}$ , to na podstawie CTG widzimy, że rozkład statystyki danej wzorem

$$S_n = \frac{1}{n} \sum_{i=1}^n X_i$$

dąży do  $N(0, 1)$ . Teoretyczna p-wartość dla  $S_n = x$  będzie równa

$$P(|m| > |x|) = 2(1 - \phi(|S_n|))$$

(gdzie  $\phi$  jest dystrybucją rozkładu normalnego) i tak też ją liczymy.

### 3.4 Runs test

*Runs test* to drugi w tym projekcie test działający na ciągach bitów. Opiera się on na wyznaczeniu liczby nieprzerwanych sekwencji identycznych bitów w badanym ciągu. Przebieg długości  $k$  składa się z  $k$  identycznych bitów i z obu stron jest ograniczony bitem o przeciwnej wartości. Celem testu jest określenie, czy liczba przebiegów jedynek i zer o różnej długości jest zgodna z oczekiwaniami dla losowego ciągu. Do porównania z innymi wynikami i określeniem wyniku testu potrzebna jest również p-wartość, którą otrzymujemy ze wzoru

$$p = \operatorname{erfc} \left( \frac{|V_n - 2n\pi(1 - \pi)|}{2\sqrt{2n\pi(1 - \pi)}} \right),$$

dla  $V_n$  będącego statystyką liczoną jako

$$V_n = \sum_{k=1}^{n-1} r(k) + 1,$$

gdzie  $r(k) = 0$ , gdy sąsiednie bity są takie same, oraz  $r(k) = 1$  w przeciwnym wypadku. Test dokładniej opisany jest w [2].

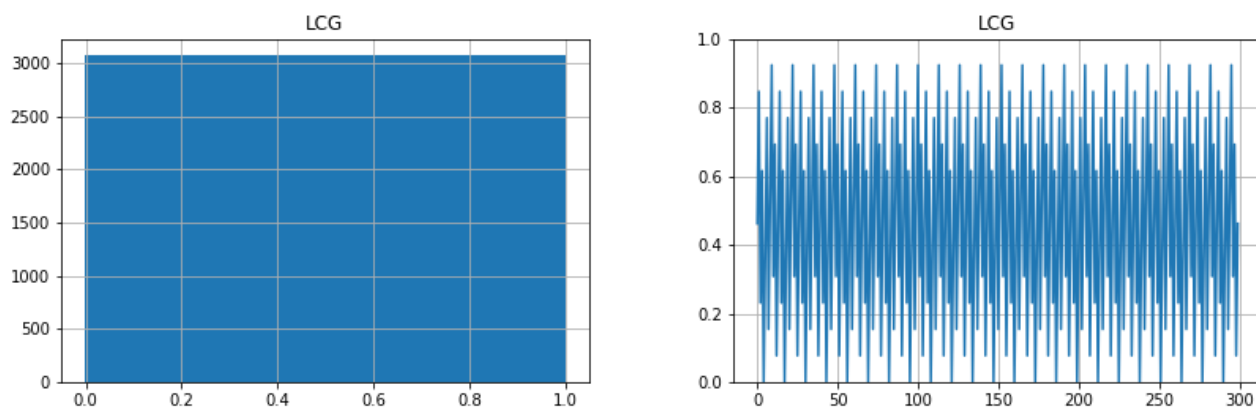
## 4 Second-level testing

Second-level testing polega na sprawdzeniu czy p-wartości otrzymywane z wcześniej opisanych testów również mają rozkład jednostajny na  $(0, 1)$ . Za pomocą wybranego generatora uzyskujemy ciąg liczb/bitów (mamy nadzieję, że pseudo-losowych) i dzielimy go na  $R$  podciągów, każdy o długości  $N$ . Dla każdego z otrzymanych podciągów liczymy wybranym testem p-wartość. Następnie ciąg p-wartości testujemy ponownie, podobnie jak we wcześniejszych testach ciągów liczb - w przypadku second-level testing zwykle używamy wtedy jako drugiego testu  $\chi^2$ . Ostatecznie otrzymujemy znów jedną p-wartość, która sugeruje, czy uzyskane p-wartości były także rozłożone losowo.

## 5 Wyniki

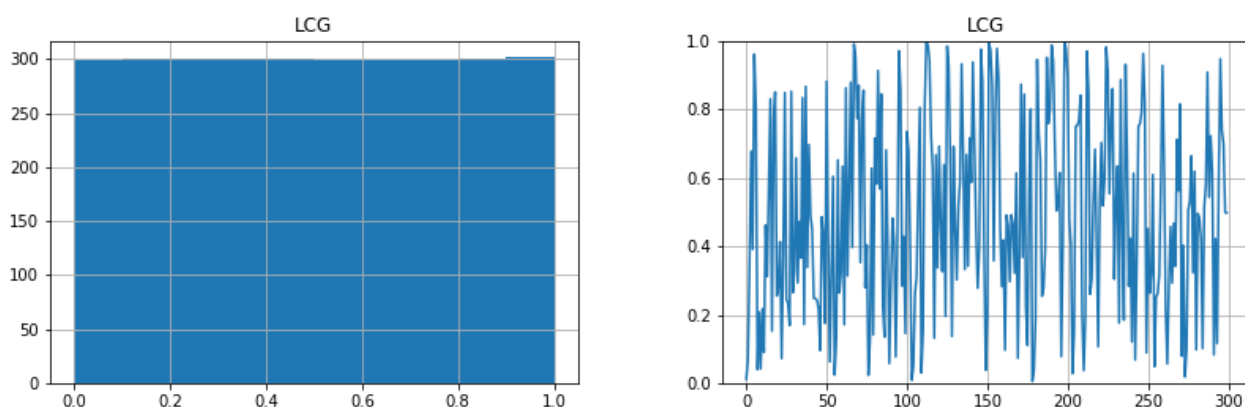
Zobaczmy jak prezentują się histogramy i wykresy dla poszczególnych generatorów. W każdym histogramie rozważamy ciągi o dobranej przez nas długości, a dla każdego wykresu ograniczamy sekwencję do pierwszych 300 liczb, aby zachować przejrzystość prezentowanych wyników.

### 5.1 LCG



Rysunek 1:  $LCG(13, 1, 5)$

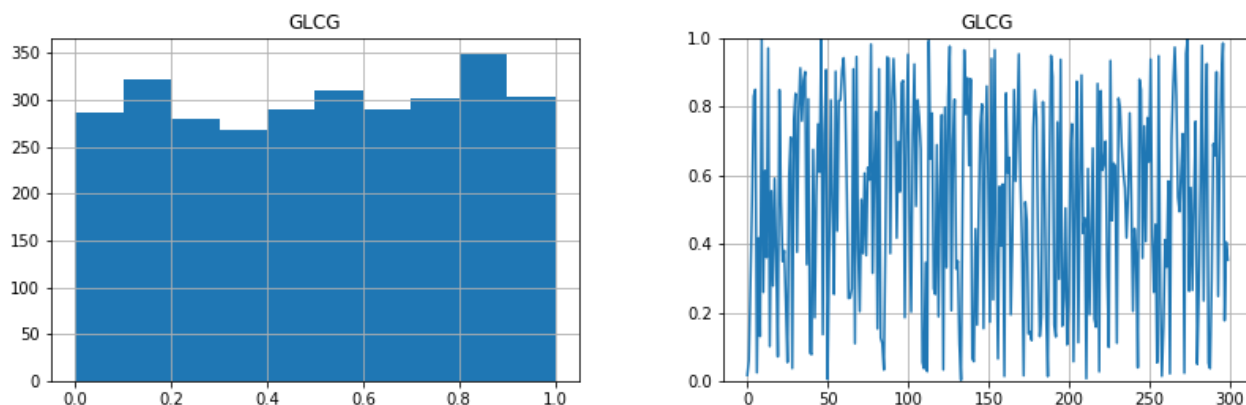
Słupki histogramu nie różnią się co sugeruje, że mamy do czynienia z rozkładem jednostajnym. Problem w tym, że wyniki przedstawione na wykresie są cykliczne. Ze względu na krótki okres powyższego generatora zauważamy pewien wzorec w wygenerowanej ścieżce.



Rysunek 2:  $LCG(2^{10}, 5, 7)$

Dla innych parametrów otrzymany histogram jest podobny do poprzedniego i ponownie przypomina prostokąt. Różnicę zauważamy w wykresie, dla którego tym razem liczby nie utworzyły wyraźnego wzoru. Wobec tego, wygenerowana sekwencja wygląda na jednostajną i niezależną.

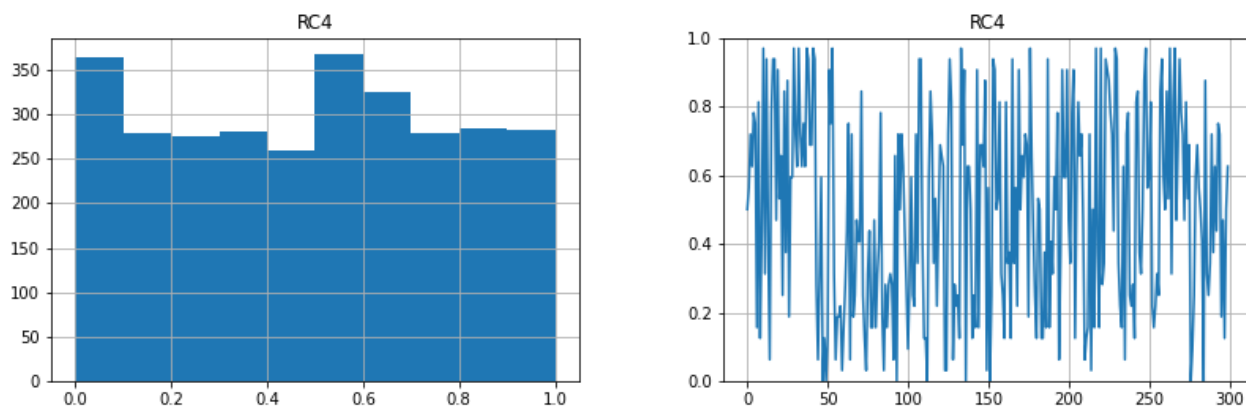
## 5.2 GLCG



Rysunek 3:  $GLCG(2^{13}, 1, 5)$

Tutaj histogram wygląda gorzej - zauważamy różnice w wysokości słupków. Wygenerowana sekwencja liczb nie rozkłada się jednostajnie i wydaje się być niezależna. Na wykresie nie widać konkretnie zarysowanej tendencji.

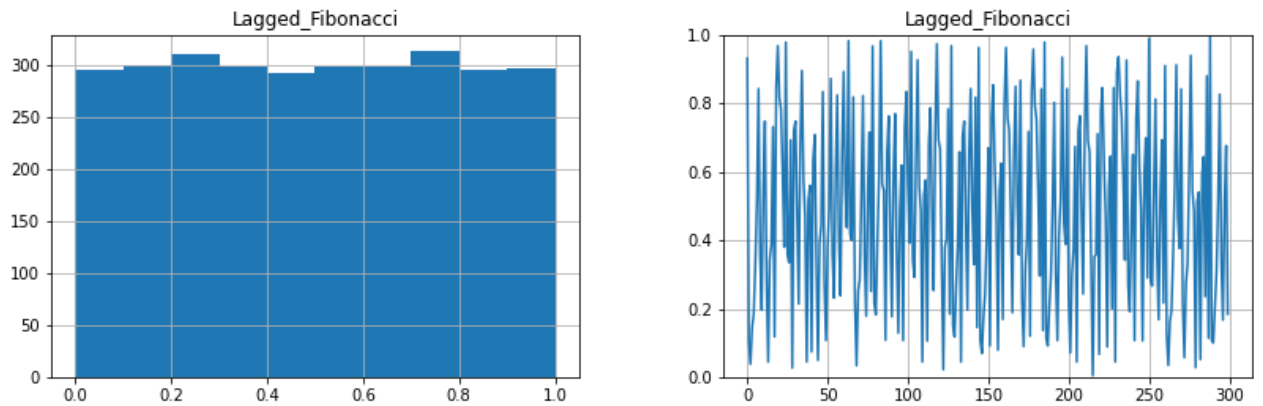
## 5.3 RC4(32)



Rysunek 4:  $RC4(32, \{0, \dots, 31\})$

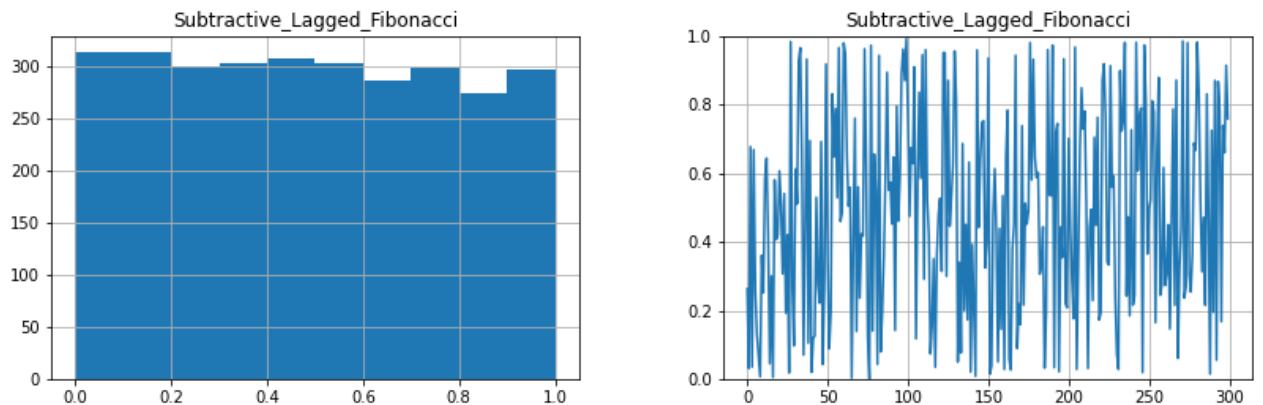
Histogram odbiega od idealnego, co wynikać może z niewłaściwego doboru kluczy. Otrzymana ścieżka nie ma wzorca.

## 5.4 Lagged Fibonacci generator



Rysunek 5:  $LFG(2^{10}, 1, 2)$

Otrzymane wyniki są zgodne z naszymi oczekiwaniami - wyglądają na losowe i jednostajne, pomimo drobnych różnic wysokości słupków.

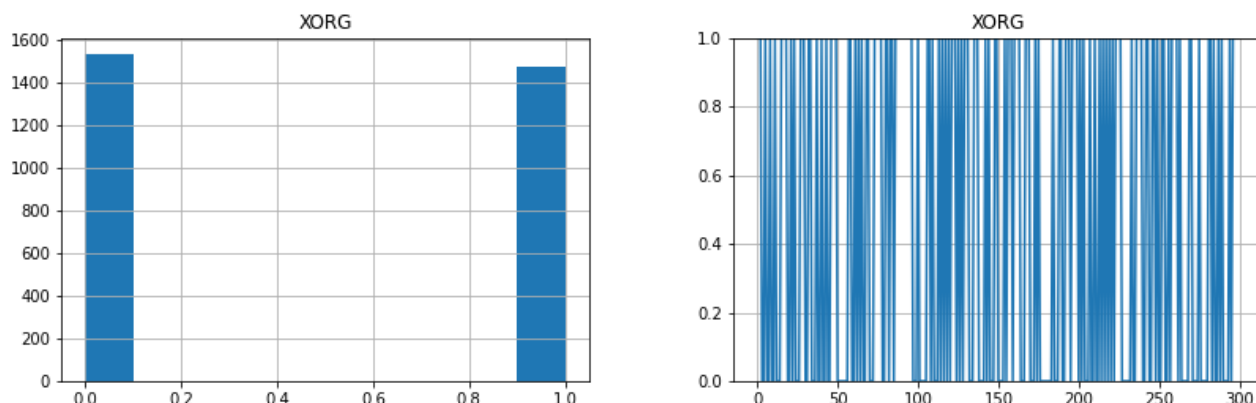


Rysunek 6:  $SLFG(2^{30}, 100, 37)$

Ponownie zauważamy drobne odstępstwa w histogramie i niezależność wygenerowanych liczb.



## 5.5 Exclusive OR Generator



Rysunek 7: *XORG*

W tym przypadku generowane są tylko zera lub jedynki, co widać na otrzymanym histogramie. W wygenerowanej ścieżce liczby nie utworzyły żadnego wzoru.

## 5.6 $\Pi, e, \sqrt{2}$

### Zestawienie wyników dla liczb niewymiernych

	Irrational number	RUNS	FM	CHI2	KS	second level RUNS	second level FM	second level CHI2	second level KS
0	pi	0.422674	0.613721	0.746874	0.554221	0.759756	0.554420	0.897763	0.678686
1	e	0.610927	0.926876	0.594775	0.521477	0.021999	0.834308	0.191687	0.494392
2	sqrt2	0.279069	0.817751	0.111701	0.310881	0.978072	0.514124	0.437274	0.366918

Dla *Runs test* oraz *Frequency Monobit test* uzyskane p-wartości są w miarę duże, w związku z czym nie mamy podstaw do odrzucenia hipotezy zerowej, mówiącej o braku losowości rozwinięć binarnych badanych liczb niewymiernych. Dla testu  $\chi^2$  oraz *Kolmogorowa-Smirnova* p-wartości są zdecydowanie większe od przyjętego poziomu istotności  $\alpha = 0.01$  zatem możemy uznać, iż obserwacje pochodzą z rozkładu jednostajnego. Owe spostrzeżenia dotyczą również *second-level testing*.

## 6 Porównanie

Na podstawie wykonanych testów statystycznych zbadamy wybrane generatory i porównamy je poprzez zestawienie odpowiednich p-wartości.

## 6.1 Testy generatorów

### Wyniki dla ciągu o długości 100

	generator	CHI2	KS	RUNS	FM
0	LCG(13, 1, 5)	0.122325	0.531679	0.091938	0.870568
1	LCG(2 <sup>10</sup> , 3, 7)	0.834308	0.480274	0.007944	0.800282
2	LCG(2 <sup>10</sup> , 5, 7)	0.851383	0.680495	0.713641	0.527089
3	GLCG(2 <sup>10</sup> , (3, 7, 68))	0.983453	0.965181	0.977183	0.026857
4	GLCG(2 <sup>13</sup> -1, (3, 7, 68))	0.924076	0.986711	0.827991	0.571608
5	Lagged Fibonacci(2 <sup>10</sup> , 1, 2)	0.699313	0.758658	0.654634	0.375921
6	Lagged Fibonacci(2 <sup>10</sup> , 5, 12)	0.514124	0.554344	0.206077	0.184126
7	Lagged Fibonacci(2 <sup>30</sup> , 100, 37)	0.514124	0.766764	0.715885	0.144127
8	Subs Lag Fibonacci(2 <sup>10</sup> , 5, 12)	0.657933	0.899192	0.038082	0.899343
9	Subs Lag Fibonacci(2 <sup>30</sup> , 100, 37)	0.249284	0.078423	0.598871	0.770196
10	RC4(32, {0,...,31})	0.350485	0.198081	0.530285	0.858028
11	RC4(32, {15, 10, 21, 13, 24})	0.983453	0.895555	0.535663	0.179712
12	XORG	0.759756	0.189280	0.231510	0.841481

Dla ciągu długości 100 każdy generator (poza  $LCG(2^{10}, 3, 7)$  dla testu *Runs*) przechodzi każdy z przeprowadzonych przez nas testów.

### Wyniki dla ciągu o długości 1000

	generator	CHI2	KS	RUNS	FM
0	LCG(13, 1, 5)	0.000000	0.000014	1.090012e-07	9.862868e-01
1	LCG(2 <sup>10</sup> , 3, 7)	0.999996	1.000000	2.285921e-23	8.728811e-01
2	LCG(2 <sup>10</sup> , 5, 7)	1.000000	1.000000	7.188201e-01	9.521556e-01
3	GLCG(2 <sup>10</sup> , (3, 7, 68))	0.998169	0.991017	0.000000e+00	4.704481e-11
4	GLCG(2 <sup>13</sup> -1, (3, 7, 68))	0.877083	0.561450	8.278778e-01	1.258271e-04
5	Lagged Fibonacci(2 <sup>10</sup> , 1, 2)	0.867692	0.691580	0.000000e+00	7.274494e-10
6	Lagged Fibonacci(2 <sup>10</sup> , 5, 12)	0.223648	0.634569	2.499282e-01	4.999579e-02
7	Lagged Fibonacci(2 <sup>30</sup> , 100, 37)	0.848027	0.601450	3.312205e-01	5.674682e-02
8	Subs Lag Fibonacci(2 <sup>10</sup> , 5, 12)	0.707513	0.283399	2.441494e-01	3.270861e-01
9	Subs Lag Fibonacci(2 <sup>30</sup> , 100, 37)	0.002428	0.396478	6.178156e-01	8.173613e-01
10	RC4(32, {0,...,31})	0.016149	0.027737	6.465415e-01	5.153446e-01
11	RC4(32, {15, 10, 21, 13, 24})	0.029011	0.144373	8.873002e-02	1.620954e-02
12	XORG	0.090936	0.210607	8.002820e-01	1.000000e+00

Dla dłuższego ciągu generator  $LCG(13, 1, 5)$  wypada znacznie gorzej niż poprzednio. Również w przypadku  $GLCG(2^{10}, (3, 7, 68))$  i  $Lagged\ Fibonacci(2^{10}, 1, 2)$  p-wartości używane w *Runs test* oraz *Frequency Monobit test* są bardzo małe.

## 6.2 Second level testing

### Ciąg długości 100 podzielony na 10 podciągów

	generator	result CHI2	result KS	result FM	result RUNS
0	LCG(13, 1, 5)	0.000040	6.164291e-12	3.250256e-09	0.000954
1	LCG(2 <sup>10</sup> , 3, 7)	0.000199	3.504852e-01	7.399183e-01	0.035174
2	LCG(2 <sup>10</sup> , 5, 7)	0.000954	3.517354e-02	2.133093e-01	0.534146
3	GLCG(2 <sup>10</sup> , (3, 7, 68))	0.213309	5.341462e-01	2.133093e-01	0.213309
4	GLCG(2 <sup>13</sup> -1, (3, 7, 68))	0.008879	5.341462e-01	5.341462e-01	0.534146
5	Lagged Fibonacci(2 <sup>10</sup> , 1, 2)	0.066882	1.223252e-01	5.341462e-01	0.534146
6	Lagged Fibonacci(2 <sup>10</sup> , 5, 12)	0.534146	1.223252e-01	2.133093e-01	0.534146
7	Lagged Fibonacci(2 <sup>30</sup> , 100, 37)	0.004301	5.341462e-01	9.114125e-01	0.122325
8	Subs Lag Fibonacci(2 <sup>10</sup> , 5, 12)	0.066882	5.341462e-01	5.341462e-01	0.534146
9	Subs Lag Fibonacci(2 <sup>30</sup> , 100, 37)	0.350485	5.341462e-01	1.223252e-01	0.122325
10	RC4(32, {0,...,31})	0.008879	5.341462e-01	6.688159e-02	0.534146
11	RC4(32, {15, 10, 21, 13, 24})	0.017912	3.504852e-01	5.341462e-01	0.911413
12	XORG	0.122325	7.399183e-01	3.964659e-05	0.122325

Ogólnie, najgorzej wypada generator *LCG*, który dla (13, 1, 5) nie przechodzi żadnego testu, a dla parametrów (2<sup>10</sup>, *z*, 7) - testu  $\chi^2$ . W pozostałych przypadkach nie mamy podstaw do odrzucenia  $H_0$  na poziomie  $\alpha = 0.01$ , chociaż nieco niższe wyniki od przyjętego  $\alpha$  zauważamy dla kilku generatorów w teście  $\chi^2$ . Dodatkowo, p-wartość w teście *Frequency Monobit* dla *XORG* jest niewielka.

### Ciąg długości 1000 · 2<sup>10</sup> podzielony na 1000 podciągów

	generator	result CHI2	result KS	result FM	result RUNS
0	LCG(13, 1, 5)	0.000000	0.000000	0.000000	0.000000
1	LCG(2 <sup>10</sup> , 3, 7)	0.000000	0.000000	0.000000	0.000000
2	LCG(2 <sup>10</sup> , 5, 7)	0.000000	0.000000	0.000000	0.000000
3	GLCG(2 <sup>10</sup> , (3, 7, 68))	0.000000	0.000000	0.000000	0.000000
4	GLCG(2 <sup>13</sup> -1, (3, 7, 68))	0.697257	0.680755	0.000000	0.000000
5	Lagged Fibonacci(2 <sup>10</sup> , 1, 2)	0.000000	0.000000	0.000000	0.000000
6	Lagged Fibonacci(2 <sup>10</sup> , 5, 12)	0.856359	0.024688	0.000449	0.000021
7	Lagged Fibonacci(2 <sup>30</sup> , 100, 37)	0.589341	0.994944	0.723804	0.587274
8	Subs Lag Fibonacci(2 <sup>10</sup> , 5, 12)	0.061260	0.371941	0.000209	0.502247
9	Subs Lag Fibonacci(2 <sup>30</sup> , 100, 37)	0.053286	0.018668	0.870856	0.459717
10	RC4(32, {0,...,31})	0.000000	0.000000	0.827279	0.705466
11	RC4(32, {15, 10, 21, 13, 24})	0.000000	0.000000	0.469232	0.506194
12	XORG	0.073417	0.628790	0.000109	0.336111

W tym przypadku tylko *Lagged Fibonacci* oraz *Subtractive Lagged Fibonacci* dla (2<sup>30</sup>, 100, 37) spełniają wszystkie testy. Zatem owe generatory dla tak przyjętych parametrów są najlepsze. Dodatkowo, generator *RC4* z różnym doбором kluczy zdaje się być losowy.

## Literatura

- [1] Tomasz Rolski, *Symulacje stochastyczne i teoria Monte Carlo*, <http://www.math.uni.wroc.pl/~rolski/Zajecia/sym.pdf>
- [2] NIST, *A Statistical Test Suite for Random and Pseudorandom Number Generators for Cryptographic Applications*, <http://www.math.uni.wroc.pl/~lorek/teaching/files/nistspecialpublication800-22r1a.pdf>
- [3] Projekt, *Introduction to simulations and Monte Carlo methods. Project nr 1*, [https://moodle.math.uni.wroc.pl/pluginfile.php/17083/mod\\_resource/content/2/2022\\_monte\\_carlo\\_project1.pdf](https://moodle.math.uni.wroc.pl/pluginfile.php/17083/mod_resource/content/2/2022_monte_carlo_project1.pdf)